

几何

(第五卷)

球面、双曲几何与球面空间

〔法〕M. 贝尔热 著

科学出版社

现代数学译丛

几何

(第五卷)

球面、双曲几何与球面空间

〔法〕M. 贝尔热 著

周克希 顾鹤荣 译

科学出版社

1991

内 容 简 介

《几何》是法国数学家 M. 贝尔热为大学生撰写的一套教学参考书。全书共分五卷。主要内容为：群在集合上的作用，仿射与射影空间；欧氏仿射空间；凸集与紧多面体；二次型、二次超曲面与圆锥曲线；球面与椭圆、双曲几何。本书配有大量的图和例，并有许多知识性的注释、按语和历史文献介绍。本书根据原书第二版翻译。

第五卷介绍球面、双曲几何与球面空间。

本书可供高等院校数学系师生和有关的数学工作者参考。

M. Berger

GÉOMÉTRIE

5/*La sphère pour elle-même, géométrie hyperbolique,
l'espace des sphères*

CEDIC/Fernand Nathan, 1979, 2^e édition

现代数学译丛

几 何

(第五卷)

球面、双曲几何与球面空间

〔法〕M. 贝尔热 著

周克希 顾鹤皋 译

责任编辑 杜小杨

科学出版社出版

北京东黄城根北街 16 号

邮政编码：100707

中国科学院印刷厂印刷

新华书店北京发行所发行 各地新华书店经售

中

1991年3月第一版 开本：850×1168 1/32

1991年3月第一次印刷 印张：4 3/8

印数：0001—1 550 字数：113 000

ISBN 7-03-002088-X/O · 394

定 价：4.90 元

目 录

第 18 章 球面	1
18.1 定义, 特殊维数, 图和射影.....	2
18.2 拓扑和代数拓扑	19
18.3 球面作为微分流形; 规范测度.....	23
18.4 S 的内蕴度量	27
18.5 S 的等距变换群	29
18.6 球面三角形	33
18.7 凸球面多边形; Cauchy 引理	43
18.8 球面 S^3 : Clifford 平行性, 在球面上的表述	51
18.9 Clifford 平行性在 3 维欧氏空间的应用: Villarceau 圆, 挠平行性	58
18.10 S^d 的共形变换群或 Möbius 群.....	60
18.11 练习	66
第 19 章 椭圆几何与双曲几何	74
19.1 椭圆几何	75
19.2 在模型 \mathcal{D} 和 \mathcal{B} 上的定义	82
19.3 基本公式和推论	86
19.4 等距变换群	89
19.5 \mathcal{B} 的规范测度	91
19.6 共形模型 \mathcal{C}	94
19.7 跋注, 其它模型	101
19.8 练习	103
第 20 章 球面空间	108
20.1 广义的球面空间	108
20.2 $\check{S}(E)$ 的基本二次型.....	110
20.3 正交性	112
20.4 两个球面的相交与夹角	113

20.5	k 维球面, 球面束.....	115
20.6	循环群 $\text{Conf}(\hat{E})$	118
20.7	多球坐标	119
20.8	练习	121
	参考书目.....	123

第 18 章 球 面

除子空间以外，球面是欧氏仿射空间中最简单的图形，因此在数学上和实际应用（如航海学、天文学和机械学）中，很自然到处都要遇到球面。在这一章中，我们要给出有关球面性质的多种多样的例子。我们多次用到了越出本书的初等范围的概念：积分、微分几何等等，以期由此激发起读者的兴趣，去了解这些理论的进一步阐述。本章中的结果，有些是初等的，有些比较复杂，但在我看来除了 18.8 和 18.10 两节的结果以外，所有的结果都是自然的、直观的，而那两节的结果则能帮助读者有效地将视野扩展到维数 1, 2, 3 以外。与第 10 章不同的是，所有的结果都只与球面本身有关，而与外围空间无关。

18.1 节讨论了一些实际问题，如球径计和图；数学家则会遇到球极投影，它在后面将起主要作用。18.2 节自由地运用代数拓扑的概念，在球面上不加证明地得出了一些很细致的结果，我认为如若不用这些简洁而精巧的概念，要讨论球面是很困难的。

在 18.3 节中，我们将球面看作微分流形，这一结构使我们能很容易地构造出球面的规范测度，对 S^2 而言这就是地球上的测度。一个关键的公式是 Girard 公式，即球面三角形的面积等于内角之和减去 π 。18.4 节定义了球面 S^d 上的内蕴距离，它定义为两点间最短道路的长度，而不是没有实际意义的 \mathbb{R}^{d+1} 的诱导距离；我们在球面 S^d 上研究一点到另一点的最短道路，有时这是一个实际问题。为了能利用内蕴距离进行计算，或者说为了在天文学中计算角度，我们需要球面三角形的有关公式。在 18.6 节中给出了相当完备的公式表，并讨论了这些公式的实际应用。

这一章的最后部分，又回到了数学味更浓的讨论。先是在 18.7 节中，我们证明了 Cauchy 的一个精巧的引理，它是 12.8 节中

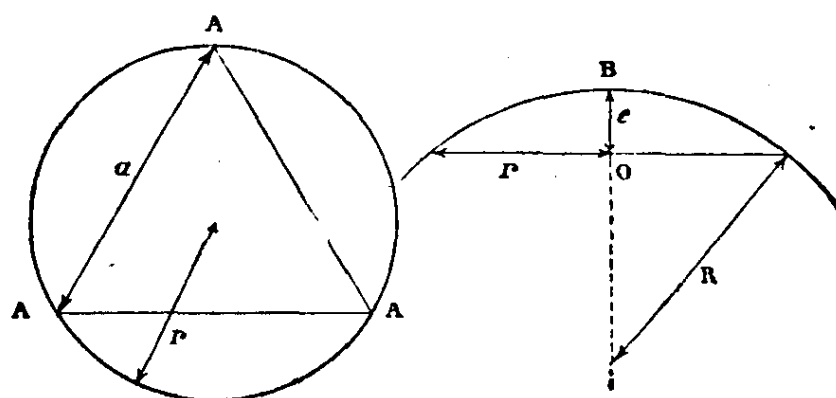
凸多面体刚性定理的证明的关键。随后，18.8 节是对 S^3 的几何学的很细致的讨论。这种细致的讨论，对于了解 S^3 球面和 Hopf 纤维化的直观形象是很有裨益的。事实上， S^3 的这一构造是一种更一般构造的最简单的情况，在几何和微分拓扑中我们随处可见这种构造，在代数拓扑中也是如此。通过球极投影，我们可以从 S^3 的性质推出 \mathbf{R}^3 的旋转环面的一些证明并不显豁但很直观的性质。

18.10 节引入的 Möbius 群，可能会使读者感到很突兀，觉得不自然。实际上，这个群是第 19 章讨论双曲几何的一半篇幅以及整个第 20 章的基础。在 18.10 节中，我们研究了这个群在 S^d 上的自然作用，这个作用除了其固有的几何上的趣味之外，还是很多新近结果的基本工具。

在整个这一章中， $S = S^d$ 表示欧氏空间 \mathbf{R}^{d+1} 的单位球面。

18.1 定义, 特殊维数, 图和射影

18.1.1 初注; 球径计。 具有相同维数的欧氏空间中的所有球面都是彼此相似的，这就是为什么在这一章中我们仅仅研究标准欧氏空间 \mathbf{R}^{d+1} 的标准球面 $S = S^d$ 的缘故。要将本章的结果和公式推广到任意给定半径的球面上去是很容易的。



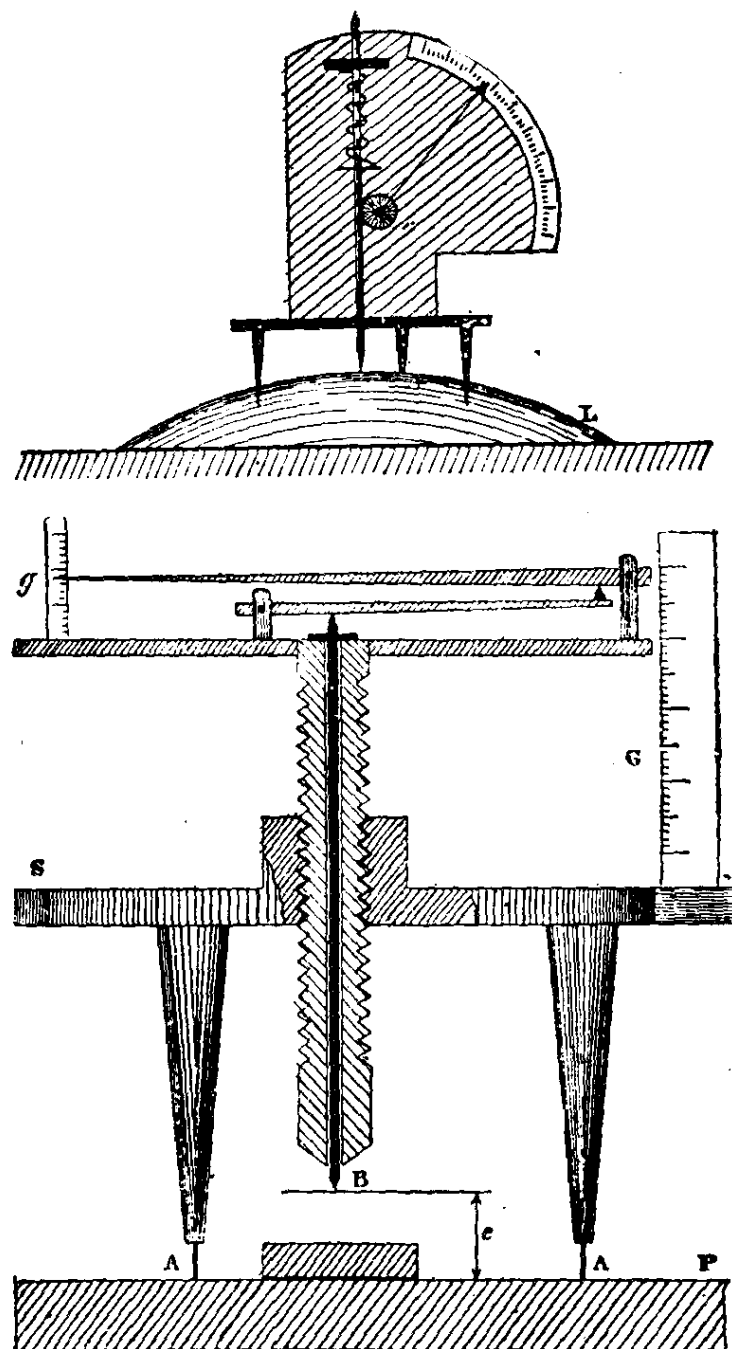
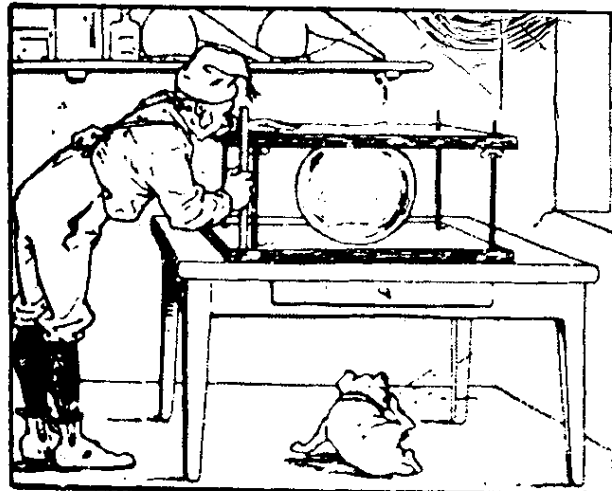


图 18.1.1.
H. Bouasse, «测量仪器», Delagrave, 1917.

我们先来谈一个实际问题，即要求出一个“实心”球（例如钢球或光学透镜的曲面）的半径，为此我们利用球径计（图 18.1.1）。如果底面的等边三角形具有相等公共长度 a 的边，且浮针到底部平面的距离为 e ，则所求半径等于 $R = (a^2 + 3e^2)/6e$ 。球径计的另一模型如图 18.1.2 所示。



Cosinus 测量球体的直径精确到 3 至 4 厘米。他量得的直径等于 0.30 米。只有在他觉得无兴趣操作时，才量得精确度不很高的扁球体。

图 18.1.2.

Christophe, «巧匠 Cosinus 的执着想法», Armand Colin.

18.1.2 定义

18.1.2.1 S 与 \mathbf{R}^{d+1} 的 $k + 1$ 维向量子空间的交称为 S 的子球面 (k 维子球面)。若 $k = 1$ ，往往就称为大圆。若 $x, y \in S$ ，且 $y \neq \pm x$ ，则存在包含 x 和 y 的唯一大圆。

18.1.2.2 S 与 \mathbf{R}^{d+1} 的 $k + 1$ 维仿射子空间的交称为 S 的小球面 (k 维小球面)。对 S^2 ，我们称之为 S 的圆(或小圆)。

18.1.2.3 S 的北极是点 $n = (0, \dots, 0, 1)$ ，南极是点 $s = (0, \dots, 0, -1)$ ，赤道是 S^d 与 \mathbf{R}^{d+1} 的超平面 $x_{d+1} = 0$ 交成的 $d - 1$ 维子球面。

18.1.2.4 S^d 在 x 处的切超平面，或者是 \mathbf{R}^{d+1} 的向量子空间 x^\perp ，或者是通过 x 且沿方向 x^\perp 的仿射超平面，我们将它记为 $T_x S$ (参看 10.7.4 和 18.3.2)。它的元素称为 S 在 x 处的切向量。同一点 x 处的两个非零切向量的夹角定义为 8.6.3 的角，这个角属于 $[0, \pi]$ 。

18.1.2.5 S 的自然拓扑是由 \mathbf{R}^{d+1} 诱导的拓扑，我们不考虑

其他的拓扑。

18.1.3 特殊维数

18.1.3.1 维数 1. 关于圆 S^1 , 我们已经看到它可解释为模是 1 的复数全体所成的乘法群, 或 \mathbf{R}^2 的旋转群(参看 8.3)。但它也可以看作 1 维的实射影空间(参看 4.3.6, 图 8.7.7.6 和 18.1.4.5)。 S^1 赋有一个固有的度量, 参看 9.9.8 和 18.4。

18.1.3.2 维数 2. 从物理上来说, 这就是我们所在的行星。就数学上而言, 它的基本性质之一是它是一个 Riemann 球面, 代表添加了 ∞ 点的复数域 $\mathbf{C}: S^2 \cong \mathbf{C} \cup \infty$, 其中不仅涉及 \mathbf{C} 中的 Alexandrov 紧化, 而且涉及一种将全纯函数、亚纯函数等概念推广的做法; 见 [CH 2] p. 90。由于我们将在 18.10 中对所有 d 详细地讨论 S^d 的共形变换群, 我们将不再更多地强调 S^2 从 \mathbf{C} 所继承的结构。等同关系 $S^2 \cong \mathbf{C} \cup \infty$ 可从 18.1.4.5 得到, 这也是 S^2 与一维复射影空间之间的同构, 参看 4.3.6。

18.1.3.3 维数 3. 球面 S^3 曾被解释为模等于 1 的四元数全体所成的乘法群, 关于这一点可见 8.9.1 的附注。我们将在 18.8 中详细地研究 S^3 。

18.1.3.4 维数 4. 球面 S^4 与四元数体上的一维射影空间是恒同的, 参看 4.9.7。

18.1.3.5 维数 6, 7, 15. 由于 Cayley 八元数代数的存在性, 这些维数具有一些特殊性质(参看 [PO], p. 278 和 [BES], 第 3 章)。 S^7 几乎是一个群, 它与模为 1 的八元数全体等同, 而 S_6 则与模为 1 的纯八元数全体等同。八元数射影平面可导致纤维为 S^7 的纤维化 $S^{15} \rightarrow S^8$, 它是纤维为 S^1 的 Hopf 纤维化 $S^3 \rightarrow S^2$ 的推广, 参看下一小节和 18.8.7。

18.1.3.6 Hopf 纤维化. Hopf 纤维化是对除 S^{15} 以外的球面 S^{2n+1} 和 S^{4n+3} 所定义的; 所谓纤维化就是指映射

$$\begin{array}{ccc} S^{2n+1} & & S^{4n+3} \\ \downarrow S^1 & & \downarrow S^3 \\ P^n(\mathbf{C}) & & P^n(\mathbf{H}) \end{array},$$

它的像是复射影空间 $P^n(\mathbf{C})$ 或四元数射影空间 $P^n(\mathbf{H})$ (参看 4.8). 置于竖直箭头旁边的 $S^1(S^3)$ 意指像集每一点的逆像是同胚于 $S^1(S^3)$ 的; 这些映射并不是很奥妙的, 对 \mathbf{C} 的情形而言, 它只不过是 4.3.3.2 中用到的映射 $p:S \rightarrow P(E)$, 见 18.11.30.

18.1.4 球极投影

18.1.4.1 S^d 在 \mathbf{R}^d 上的北极球极投影 定义如下: 我们按通常习惯将 \mathbf{R}^{d+1} 与 $\mathbf{R}^d \times \mathbf{R}$ 等同, 并将每个 $m \in S^d \setminus n$ 映到 \mathbf{R}^d 的点 $f(m)$ 使得 $m, n, f(m)$ 共线. 下面的计算表明 f 是双射, 且逆映射 f^{-1} 作为映射 $\mathbf{R}^d \rightarrow S^d$ 是 C^∞ 类的. 我们将 $m \in \mathbf{R}^{d+1}$ 看作为一个对 (z, t) , $z \in \mathbf{R}^d$, $t \in \mathbf{R}$; 于是可选取 $\lambda \in \mathbf{R}$ 使 $f(m) = \lambda n + (1 - \lambda)m$, 且 $f(m) \in \mathbf{R}^d$, 其中 $\lambda = t/(t - 1)$, 且

18.1.4.2

$$f:m = (z, t) \mapsto \frac{1}{1-t} z,$$

$$f^{-1}:z \mapsto \left(\frac{2z}{\|z\|^2 + 1}, \frac{\|z\|^2 - 1}{\|z\|^2 + 1} \right).$$

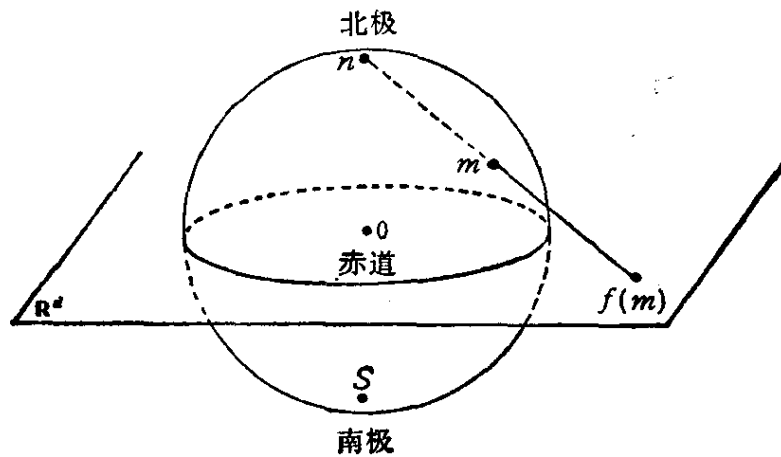


图 18.1.4.1.

18.1.4.3 更一般地我们把每一个映射 $f:S \setminus m \rightarrow H$ 都称为 S 的球极投影, 其中 m 是 S 的点, H 是平行于 S 在 m 处切超平面且异于它的一个超平面. 根据 10.8.2 可知, 上述映射 f 是 \mathbf{R}^{d+1} 的关于极点 m 的反演变换在 S 上的限制, 特别是所有的球极投影都保

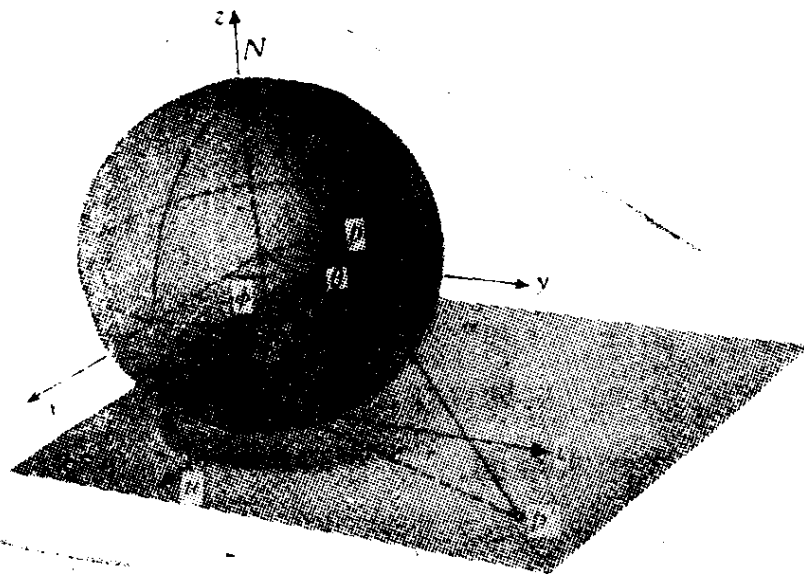


图 18.1.4.2.

持角度（见 18.1.2.4 中明确的定义或 18.10.3 和 18.11.22），且将 $S \setminus m$ 的 $d - 1$ 维小球面变换成 H 的球面，参看 10.8.2。

18.1.4.4 如果 f （或 g ）是 S^d 到 \mathbf{R}^d 上关于北极（或南极）的球极投影，则 $g \circ f^{-1}: \mathbf{R}^d \setminus 0 \rightarrow \mathbf{R}^d$ 正好是 \mathbf{R}^d 关于极点 0 的幂为 1 的反演变换。

18.1.4.5 球极投影表明

$$S^1 \cong \mathbf{R} \cup \infty = \tilde{\mathbf{R}} \cong P^1(\mathbf{R})$$

和

$$S^2 \cong \mathbf{R}^2 \cup \infty \cong \mathbf{C} \cup \infty = \mathbf{C} \cong P^1(\mathbf{C}), \text{ 参看 4.3.8.}$$

地图的绘制

在 18.1 节所有余下部分中我们假设 $d = 2$ ，且置 $S = S^2$ 。

18.1.5 图

18.1.5.1 我们把 S 的一个子集 A 和一个单射 $f: A \rightarrow \mathbf{R}^2$ 所组成的 (A, f) 偶称为 S 的图。 f 往往还是 A 到 $f(A)$ 上的一个同

胚。例如，球极投影 18.1.4.3 总是图，其中 $A = S \setminus m$ 。但我们可以看出不存在整个 S 的图，即不存在同胚 $f: S \rightarrow f(S) \subset \mathbf{R}^2$ 。为看出此结果，设 x 属于 S ，则根据假设和 18.2.6.5，可知对所有 $x \in S$ 而言 $f(S \setminus x) = f(S) \setminus f(x)$ 是 \mathbf{R}^2 的开集，然而这与下面的事实矛盾： $f(S)$ 作为内部非空的紧集肯定不再有边界点（如有需要可参见 11.2.9）。

18.1.5.2 附注。 “图”这个词有许多意思，其中最理论化的是上述的 (A, f) 偶，而最具体的则是一纸黑白或彩色的图片。

18.1.5.3 大地水准面。 现在我们要研究的 S 不是别的球面，而是地球！更确切地说是大地水准面，即在其每点处都垂直于重力线（且通过一个参照点）的一个曲面。当然，这个大地水准面是同胚于 S 的。往后我们只用到它是双射，但要求图能保持 S 的度量和角度性质；而对 18.4 中所定义的 S 的规范度量而言，大地水准面是不等距于 S 的（甚至在不计相差一个数量时也不等距）。实际上唯一可考虑的合理的近似是将其作为一个旋转椭球面，它的长半轴 $a = 6378388$ 米，短半轴 $b = 6356912$ 米，因此扁度 $\frac{a-b}{a} = 1/297$ 。然而，今后我们研究的只是 S ，而不是大地水准

面；当然，在实用时应该对下面的结果作某些修改。因此读者也可领略一点实际计算的复杂性，Mercator 横向射影（参看 18.1.8.4）中纬线和经线的方程以及大地水准面的相应计算就是一例；这种计算是 Gauss 就已经会做的。

18.1.5.4 有关地图绘制术的参考文献是：[CN] 包括相当一般的结果，但欠详细，[HOL] 中第 II 章已更数学化，[LS] 中第 IV 章包含许多关于 Lambert 射影、通用 Mercator 横向射影的数学内容以及大地水准面的有关内容，最后可参见 John Milnor, A problem in cartography, American Mathematical Monthly, 76(1969), 第 1101—1102 页。

18.1.6 地球坐标图

18.1.6.1 对点 $m \in S$ ，称实数

$$\theta(m) = \frac{\pi}{2} - (\overrightarrow{0n}, \overrightarrow{0m})$$

为纬度；赤道上的点是纬度为 0 的点，北极和南极的纬度分别是 $\pi/2$ 和 $-\pi/2$ 。如果 $m \in S \setminus \{n, s\}$ ，称定向直线所夹的定向角 $\overrightarrow{0a}, \overrightarrow{0m}$ 的测度（取值于 $-\pi$ 和 π 之间）为 m 的经度，其中 $a = (1, 0, 0)$ ， m' 是 m 在 x, y 平面上的射影。除非 m 属于以 n, s 为端点且通过 $(-1, 0, 0)$ 的半大圆 Γ ， m 点的经度 $\varphi(m)$ 是唯一确定的； n, s 的经度是在 $[-\pi, \pi]$ 中完全不定的，而对 Γ （半大圆 Γ 是“国际日期线”）的其他点，其经度可取值为 π 或 $-\pi$ 。

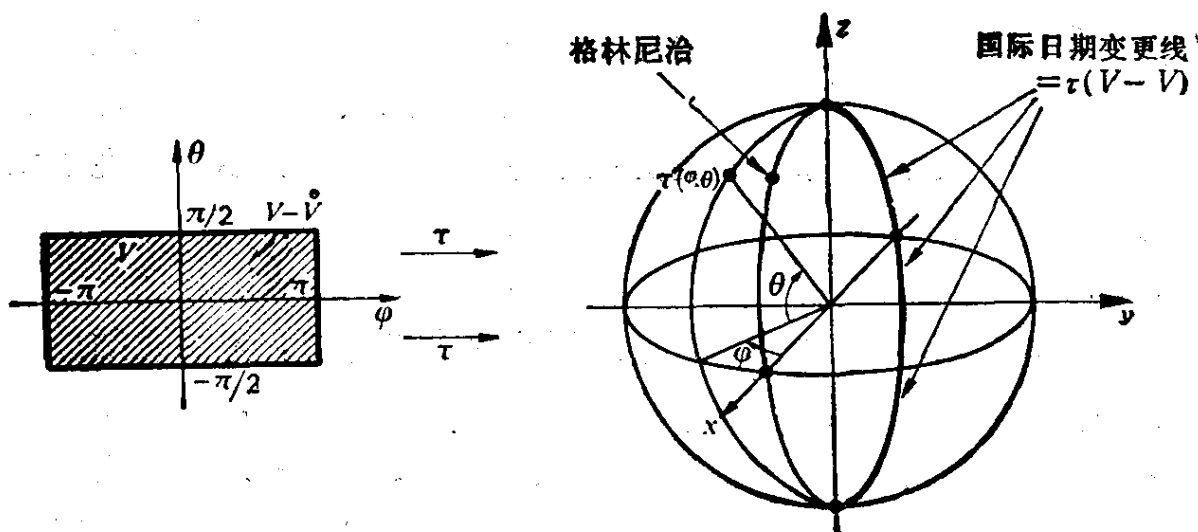


图 18.1.6.1.

Berger, Gostiaux, «微分几何», Armand Colin 出版社,大学丛书

我们称 $(S \setminus \Gamma, f_0)$ 偶为地球坐标图，其中 $f_0(m) = (\varphi(m), \theta(m)) \in \mathbf{R}^2$ ；它的像是矩形

$$[-\pi, \pi] \times \left[-\frac{\pi}{2}, \frac{\pi}{2} \right].$$

映射 $\tau = f_0^{-1}$ 由下式定义：

$$18.1.6.2 \quad \tau(\varphi, \theta) = (\cos \varphi \cos \theta, \sin \varphi \cos \theta, \sin \theta) \in \mathbf{R}^3.$$

记住， S 的经线和纬线分别是经度和纬度等于常数的曲线。

18.1.6.3 对大地水准面我们也可以（而且应该）定义地球坐标；对于经度，那是没有什么问题的，对于纬度则可取法线与赤道

平面所成的角,这也就是说纬度是通过重力线给出的.

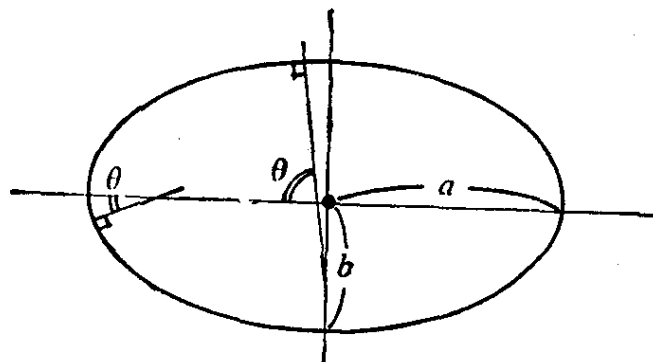


图 18.1.6.3.

18.1.6.4 实际上, S (或地球)的几乎所有的图 f , 都不是通过映射 f 本身, 而是通过映射

$$g = f \circ \tau = f \circ f^{-1}$$
(参看 18.1.6.2) 给出的, 这个映射具有如下形式:

$$\begin{aligned}x &= u(\varphi, \theta), \\y &= v(\varphi, \theta).\end{aligned}$$

18.1.6.5 对于大地水准面, 应该选择一个原点, 以便知道什么地方经度为 0; 实际上这就是格林尼治经线(见图 18.1.6.1), 它的一个好处是让国际日期变更线落在太平洋中间, 从而避免了太过份的笑话.

18.1.7 对图的要求

18.1.7.1 不仅集合论学者, 而且每个步行者, 每个在陆地经商或是航海的人, 都必须在图中计算距离(对度量的, 见 18.4)、面积(对规范测度的, 见 18.3.7) 和角度(参看 18.1.2.4). 看来距离是最重要的(考虑到腿的疲劳, 煤油的价格等等), 因此我们希望 S 在 A 上的诱导度量和 \mathbf{R}^2 在 $f(A)$ 上的诱导度量之间有一些(不计数量差别的)等距图. 然而遗憾的是, 我们在 18.4.4 中会看到不论 S 的开集 A 有多小, 都不存在任何一个这样的图.

18.1.7.2 但是, 却存在一些共形图, 也就是保持角度的图(若有需要可参看 18.10.3 中的明确定义): 例如球极投影, 参看 18.1.4.3. 因为利用 \mathbf{R}^2 的一个局部共形映射, 例如 $\mathbf{C} = \mathbf{R}^2$ 的任一全纯函数, 总可构成一个球极投影, 所以共形图是很多的, 见 9.5.4.3.

18.1.7.3 这些共形图——我们所用的大多数是这种图——并不是出于不得已而选用的. 理由如下: 在 $m \in A$ 处, 共形图 (A, f) 将一个仅与 m 有关而与 m 处的切方向无关的系数 $k(m)$ 乘

到无穷小的长度上。由于实际上我们经常是在 S 的很小的区域 A 内研究问题，故若这图不是太不正规的话，在 A 的一个小区域内系数 k 的变化是很小的，于是我们可以通过修正的方法充分近似地计算出长度和面积。

显然也存在不改变面积的图，称为等面图，18.11.27 中给出了一个例子。

18.1.8 几种不同类型的图

18.1.8.1 附注。 其实所有的图都可称为射影，其原因在于最初的图实际上就是由从 \mathbf{R}^3 的一点出发， S 在 \mathbf{R}^3 中到一平面上的射影来定义的，例如就象球面投影的情形那样。正如 18.11.27 中的“柱面射影”那样，上述意义可以推广到在一个柱面上的射影，然后我们可将这柱面展开成平面。

现在我们沿用“射影”这个词，但从下面的 Mercator 图开始就已经不是空间射影的问题，更不必说实际上我们研究的还是大地水准面了（参看 18.1.6.3）。

18.1.8.2 古典 Mercator 射影。 它定义为（当然不计数量因子的差别）在 18.1.6.4 的意义下具有形式 $(\varphi, \theta) \mapsto (\varphi, V(\theta))$ 的共形图；由此可唯一地决定函数 V 。这个图 f 的反函数 F 应形如

$$F: (u, v) \mapsto \tau(u, W(v)),$$

其中 τ 是映射 18.1.6.2，而 $W = V^{-1}$ 。我们看到偏导向量 $\partial F / \partial u$, $\partial F / \partial v$ 满足

$$\left(\frac{\partial F}{\partial u} \middle| \frac{\partial F}{\partial v} \right) = 0, \quad \left\| \frac{\partial F}{\partial u} \right\| = |\cos W|, \quad \left\| \frac{\partial F}{\partial v} \right\| = |W'|.$$

图为共形的充要条件是 $W' = \cos W'$ ，它的解是原函数 $t \mapsto 1/\cos t$ 的反函数，于是

$$V(\theta) = \log \left(\operatorname{tg} \left(\frac{\theta}{2} + \frac{\pi}{4} \right) \right).$$

换句话说，Mercator 射影是将纬线和经线表示为互相垂直的直线，且沿赤道等距的唯一的共形图。对 18.1.7.3 中的 k 变化不太

大的航行而言,不论在航海或航空中这都是一张至关重要、非常有用的图。实际上经线和纬线就是正交的坐标直线;由于还是共形的,可知按不变航向行驶的轮船或飞机的轨线是图上的直线,因此可以用直尺画出这轨迹,而它们就是轮船或飞机在某一段时间内航行的轨迹:驾驶员让罗盘指着船长或机长指定的方向。

在球面上,这些轨迹(也就是与所有经线交成固定角的曲线)称为斜驶线;它们关于 (φ, θ) 的方程就是

$$\varphi = \alpha \log \left(\operatorname{tg} \left(\frac{\theta}{2} + \frac{\pi}{4} \right) \right) + \beta \quad (\alpha, \beta \in R).$$

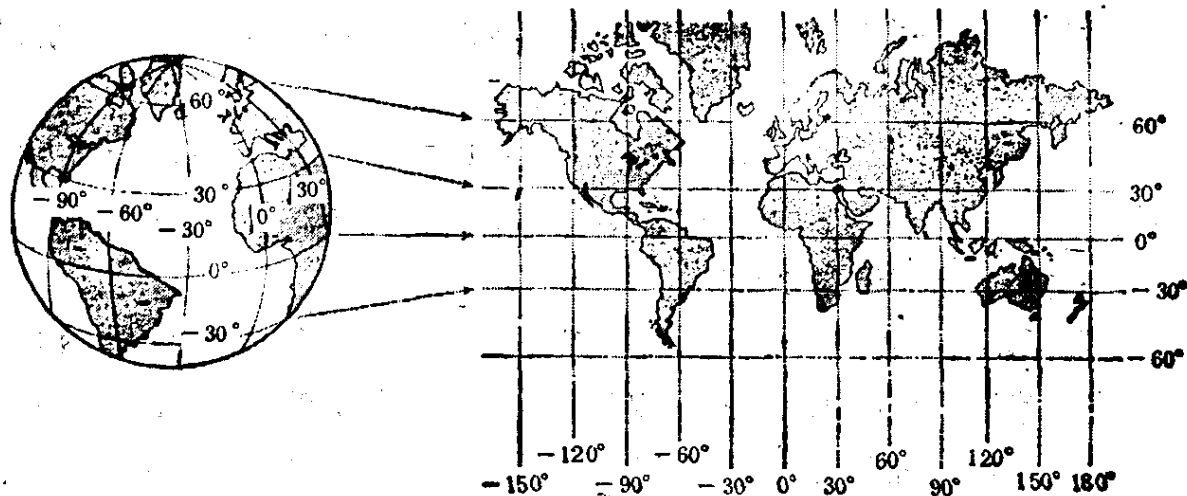


图 18.1.8.2. Mercator 射影

18.1.8.3 横向或斜向的 Mercator 共形射影. 古典 Mercator 图在接近极点时对系数 k 而言是十分糟糕的,因为在那里 k 趋向无限大因而变化很大,因此,距离和面积的问题实际上是没有办法在保证精确度的前提下得到解决的;相反地,我们注意到古典 Mercator 图在赤道附近是极好的,因为在那里的系数 k 有一极小值且变化很小(“一个函数在极值点邻近变化甚微”).

如果我们想要在 S 的任意一点处实现这一点,也并无任何困难: 我们可以通过一个旋转(因而是等距变换)将点转到赤道上;显然纬线和经线在图上从理论上说是很不好看的曲线,而实际上在一个小区域里却几乎是一些直线。如果说我们可以从直观上这